

·实验研究 Experimental research·

# 微小核糖核酸-29b 通过靶向髓样细胞白血病-1 影响脑缺血/再灌注损伤时神经细胞凋亡

陈 浩， 黄 智， 张 帅， 王黎洲， 周 石

**【摘要】目的** 确定微小核糖核酸(microRNA, miRNA, miR)在脑缺血/再灌注(I/R)损伤中对神经细胞凋亡的影响，并探讨其潜在机制。**方法** 培养小鼠成神经细胞瘤(N2a)细胞，构建氧糖剥夺(OGD)/复氧(R)模型，模拟体外脑I/R状态。N2a细胞随机分为空白对照组(control)、OGD/R组(OGD/R)、OGD/R+转染miR-29b模拟物组(mimics)、OGD/R+转染miR-29b抑制剂组(inhibitor)、OGD/R+转染miR-29b模拟物阴性对照组(mimics NC)、OGD/R+转染miR-29b抑制剂阴性对照组(inhibitor NC)。实时定量聚合酶链反应(PCR)检测各组miR-29表达变化。细胞计数试剂盒(CCK)-8和流式细胞术分别检测miR-29b和miR-29b抑制剂对N2a细胞活力和凋亡的影响。免疫印迹法检测抗凋亡蛋白髓样细胞白血病(MCL)-1、B淋巴细胞瘤(BCL)-2及半胱氨酸天冬氨酸特异性蛋白酶(caspase)-3表达。双荧光素酶分析验证miR-29b与MCL-1间相互作用。**结果** 与control组相比，OGD/R组miR-29b表达明显升高。与OGD/R组相比，mimics组N2a细胞凋亡增加，存活率降低，MCL-1、BCL-2表达下调，caspase-3表达上调，而这种效应在inhibitor组受到逆转。双荧光素酶分析显示miR-29b可通过与MCL-1的3'非翻译区(UTR)端结合下调MCL-1表达。**结论** miR-29b在脑I/R损伤过程中通过靶向MCL-1促进神经细胞凋亡。这为缺血性脑卒中治疗提供了一潜在的新靶点。

**【关键词】** miR-29b；脑缺血/再灌注损伤；MCL-1；N2a细胞；细胞凋亡

中图分类号：R743.34 文献标志码：A 文章编号：1008-794X(2021)-07-0697-06

**The effect of miR-29b on neurocyte apoptosis through targeting MCL-1 in cerebral ischemia/reperfusion injury CHEN Hao, HUANG Zhi, ZHANG Shuai, WANG Lizhou, ZHOU Shi. School of Medical Imaging, Guizhou Medical University, Guiyang, Guizhou Province 550004, China**

*Corresponding author: ZHOU Shi, E-mail: 156722229@qq.com*

**[Abstract]** **Objective** To determine the effect of miR-29b(miRNA-29b, microRNA-29b) on neuronal apoptosis in cerebral ischemia/reperfusion (I/R) injury, and to discuss its potential mechanisms. **Methods** Neuroblastoma(N2a) cells were cultured and exposed to an oxygen-glucose deprivation/reoxygenation(OGD/R) environment, which was used to simulate cerebral I/R injury status in vitro. The N2a cells were randomly divided into blank control group, OGD/R group, OGD/R+miR-29b mimics transfected group(mimics group), OGD/R +miR-29b inhibitor transfected group (inhibitor group ), OGD/R+miR-29b mimics negative-control transfected group(mimics NC group), and OGD/R+miR-29b inhibitors negative-control transfected group (inhibitor NC group). Real-time quantitative polymerase chain reaction (RT-qPCR) was used to detect the expression levels of miR-29b in each group. Cell Counting Kit-8 (CCK-8) and flow cytometry were separately used to test the effect of miR-29b and miR-29b inhibitor on the cell viability and apoptosis in each group. Western blotting assay was adopted to test the expressions of anti-apoptotic protein myeloid leukemia-1(MCL-1), B-lymphocytoma-2(BCL-2) and cysteine aspartate specific protease-3(caspase-3). Dual-luciferase assay was employed to validate the interaction between miR-29b and MCL-1. **Results** Compared with the control group, in OGD/R group the expression level of miR-29b was much higher. Compared with OGD/R group, in

mimics group the N2a cell apoptosis was obviously increased, the cell livability was reduced, the expressions of BCL-2 and MCL-1 were down-regulated, and the expression of caspase-3 was up-regulated, while these effects in the inhibitor group were reversed. Dual-luciferase assay revealed that miR-29b could down-regulate the expression of MCL-1 through binding miR-29b with MCL-1 3'non-translational area(UTR) ends. **Conclusion** During cerebral I/R injury, miR-29b promotes neurocyte apoptosis through targeting MCL-1, which provides a potential new target for the treatment of ischemic stroke. (J Intervent Radiol, 2021, 30: 697-702)

**[Key words]** miR-29b; cerebral ischemia/reperfusion injury; MCL-1; N2a cell; apoptosis

缺血性脑卒中是全球最严重的神经系统疾病之一,现阶段除了早期溶栓、取栓等介入治疗外,尚无其他更有效的治疗手段。然而介入治疗后血管再通的同时,可能发生脑缺血/再灌注(I/R)损伤<sup>[1-3]</sup>,是影响脑卒中预后的重要环节。因此寻找新的有效措施预防脑I/R损伤具有重要意义。微小核糖核酸(microRNA,miRNA,miR)是通过靶向调节信使RNA(mRNA)稳定性和/或转化效率执行转录和转录后负调控功能的小片段(18~25 nt)单链非编码RNA分子<sup>[4]</sup>。研究证实最成熟的miRNA通过结合3'非编码区改变靶向mRNA降解或翻译<sup>[5-6]</sup>。既往研究显示miR-29b、miR-21、miR-200和miR-497似可作为潜在治疗靶点,通过改变大脑皮层中通常高表达的关键信号元件参与脑I/R损伤<sup>[7]</sup>。miR-29b也可能负调控B淋巴细胞瘤(BCL)-2家族成员,如BCL-W(BCL-2L2)和髓样细胞白血病(MCL)-1等促生存蛋白。这些蛋白是脑I/R损伤的重要调节因子,其作用机制尚不清楚<sup>[8-10]</sup>。本研究旨在确定miR-29b是否对体外脑I/R损伤具有保护作用,并探讨其潜在作用机制,以期为改善其临床疗效提供新策略。

## 1 材料与方法

### 1.1 实验细胞和主要试剂

小鼠成神经细胞瘤(N2a)细胞(中国科学院上海分院),miR-29b模拟物、抑制剂及相对对照组序列(广州锐博生物科技公司),LipofectamineTM 3000试剂(美国Invitrogen公司),细胞计数试剂盒(CCK)-8(日本同仁化学研究所),膜联蛋白(annexin)V/碘化丙啶(PI)凋亡试剂盒(杭州联科生物科技公司),TRIzol试剂(美国Thermo Fisher公司),抗小鼠多克隆MCL-1抗体(1:2 000)(美国Sigma公司),抗小鼠多克隆BCL-2抗体(1:1 000)、抗小鼠多克隆半胱氨酸天冬氨酸特异性蛋白酶(caspase)-3抗体(1:1 000)(英国Abcam公司),抗小鼠多克隆3-磷酸甘油醛脱氢酶(GAPDH)抗体(1:1 000)(美国Santa Cruz生物技术公司),化学发光试剂(美国Merck Millipore

公司),psiCheck™2载体(美国Invitrogen公司),限制性内切酶(生工生物工程上海公司),7500 Fast实时聚合酶链反应(PCR)系统PCR仪(美国Thermo Fisher公司),KO-PLUS诱变试剂盒(美国Santa Cruz生物技术公司)。

### 1.2 氧糖剥夺/复氧模型建立和实验分组

37℃、5%CO<sub>2</sub>、95%O<sub>2</sub>湿润空气条件下,N2a细胞置于加入10%胎牛血清(美国Hyclone公司)和1%青霉素/链霉素(美国Mediatech公司)的高糖Dulbecco改良伊格尔培养基(DMEM)(美国HyClone公司)中培养;N2a细胞置于脱氧无糖DMEM(美国HyClone公司)进行氧糖剥夺(OGD)处理,缺氧条件(5%CO<sub>2</sub>、1%O<sub>2</sub>、94%N<sub>2</sub>)下培养4 h;置于含葡萄糖DMEM,正常培养条件(5%CO<sub>2</sub>、95%O<sub>2</sub>)下于12 h进行复氧(R)处理。体外OGD/R模型建立并分为6组:空白对照组(control)、OGD/R组(OGD/R)、OGD/R+转染miR-29b模拟物组(mimics)、OGD/R+转染miR-29b抑制剂组(inhibitor)、OGD/R+转染miR-29b模拟物阴性对照组(mimics NC)、OGD/R+转染miR-29b抑制剂阴性对照组(inhibitor NC)。

### 1.3 miRNA模拟转染和实验分组

miR-29b模拟物、miR-29b抑制剂、模拟物NC、抑制剂NC引物序列见表1。按2×10<sup>5</sup>细胞将miR-29b模拟各组N2a细胞培养于6孔板中,分别用Lipofectamine™ 3000试剂转染200 μL成熟miR-29b模拟物、miR-29b抑制剂、模拟物NC、抑制剂NC 24 h,并相应分为4组。

表1 miRNA引物序列

名称	序列
miR-29b 模拟物	5'-UAGCACCAUUUGAAUCAGUGUU-3'
miR-29b 抑制剂	5'-AACACUGAUUCAAUGGUGCUA-3'
miR-29b 模拟物 NC	5'-UUCCUCCGAACGUGUCACGUU-3'
miR-29b 抑制剂 NC	5'-CAGUACUUUUGUGUAGUACAA-3'

### 1.4 细胞活力检测

上述4组序列转染后,在96孔板每孔中加入100 μL CCK-8溶液,培养箱中孵育1 h;酶标仪测

量 450 nm 处吸光度。

### 1.5 细胞凋亡检测

采用 annexin V/PI 凋亡试剂盒定量检测凋亡细胞。收集 4 组 N2a 细胞, 磷酸盐缓冲液(PBS)冲洗, 置于含 5 μL annexin V (10 g/mL) 的 200 μL 结合缓冲液中重新悬浮, 暗室中静置 10 min; 置于 10 μL PI (20 g/mL) 中孵育; 流式细胞仪(美国 Beckman 公司)检测细胞凋亡, CellQuest™ 软件(美国 BD Biosciences 公司)进行数据采集和分析。

### 1.6 蛋白分离和免疫印迹分析

常规方法对 4 组样本  $2 \times 10^6$  N2a 细胞裂解后, 提取总蛋白, 进行免疫印迹分析。主要抗体为抗小鼠多克隆 MCL-1 抗体(1:20 000)、BCL-2 抗体(1:1 000)、caspase-3 抗体(1:1 000)、GAPDH 抗体(1:1 000)。采用化学发光试剂和 LAS4000 发光成像分析仪(美国 GE Healthcare 公司)观察蛋白印迹。

### 1.7 实时定量 PCR 检测

根据 TRIzol 试剂使用说明, 从细胞中提取总 RNA, NanoDrop 1000 分光光度计(美国 Thermo Fisher 公司)进行 RNA 定量; 根据 Bestar qPCR RT 试剂盒(德国 DBI Bioscience 公司)使用说明, 对每个样本 1 μg 总 RNA 行逆转录, 96 孔板和 7500 Fast PCR 仪行实时定量 PCR 检测。每 20 μL PCR 反应体系包括 1 μL 逆转录产物(1:5)、0.5 μL 有义引物、0.5 μL 通用逆转录引物、10 μL 混合缓冲液(Bestar Sybr-Green qPCR master mix), 加双蒸水至 20 μL。反应条件为 94°C, 反应 2 min, 94°C 和 58°C 循环 20 s, 循环 40 次, 72°C 反应 20 s, 所有反应重复 3 次。引物序列见表 2。

表 2 miR-29b 引物序列

名称	序列
miR-29b 正向	5'UAGCACCAUUUGAAAUCAGUGUU3'
miR-29b 反向	5'CTCAACTGGTGTCTGGAA3'
U6 正向	5'CTCGCTTCGGCAGCACAA3'
U6 反向	5'AACGCTTCACGAATTGCGT3'

### 1.8 重组质粒结构和双荧光素酶检测

从 GenBank 数据库中检索小鼠 MCL-1 mRNA (NM\_000286) 3' 非翻译区(UTR)并应用合成引物: MCL-1 正向 5'GCTAGCCGCTACTAGGCTCCCC3', 反向 5'CGGGTAGTATACGCGTCGTTAC3' 扩增。将产物克隆至 psiCheck™2 载体, 重组载体扩增至重组大肠杆菌 DH5α, 并用无内毒素质粒纯化试剂盒纯化。每片段分别用 Takara LA Taq(日本 TaKaRa 生物公司)PCR 扩增并克隆至载体。采用 KO-PLUS

诱变试剂盒使 MCL-1 3'UTR 序列中 miR-29b 结合位点突变。所有构建物均经限制性内切酶(上海生工生物工程公司)消化测序。

N2a 细胞在 6 孔板上接种密度为  $1.0 \times 10^5$  细胞/mL, 次日可达到 50% 覆盖。miR-29b 转染 24 h, 用上述 Lipofectamine™ 3000 转染 psiCheck™2-MCL-1-3'UTR-wt/-mut 质粒(美国 Invitrogen 公司), 再孵育 24 h; 收集细胞, 测定荧光素酶活性, 通过双荧光素酶报告器(美国 Promega 公司)和微孔板阅读器(美国 Biotek 公司)标准化荧光素酶活性。处理后的细胞样本与对照细胞样本的发光率, 均给予 3 个独立样本转染的均值±标准差。

### 1.9 数据分析

实时定量 PCR 数据分析中, 以相对定量法测定目标 miRNA 表达量变化。用 U6 RNA 对表达进行标准化, 并测定扩增后变化。每个样本折叠变化用  $2 - \Delta\Delta Cq$  表达式计算法,  $\Delta\Delta Cq = (Cq_{\text{目标基因}} - Cq_{\text{U6}})_{\text{PIH}} - (Cq_{\text{目标基因}} - Cq_{\text{U6}})_{\text{对照}}$ 。值  $2 - \Delta\Delta Cq > 1.5$  或  $< 0.67$  考虑 miRNA 差异表达。*t* 检验评估实时定量 PCR 检测的 miRNA 表达差异。采用 SPSS 17.0 软件分析其他实验数据。各组间 miRNA log10 转换相对数量比较用单因素方差分析, 其基因间差异评价用 Post-Hoc 检验。 $P < 0.05$  为差异有统计学意义。

## 2 结果

### 2.1 miR-29b 与 MCL-1 相互作用

双荧光素酶实验显示, 与 psiCheck™2-MCL-1-3'UTR-mut 转染细胞相比, miR-29b 模拟物和 psiCheck™2-MCL-1-3'UTR-wt 处理后 N2a 细胞中荧光素酶活性降低(图 1); 结果表明 miR-29b 通过与 MCL-1 的 3'UTR 端结合下调 MCL-1 表达。

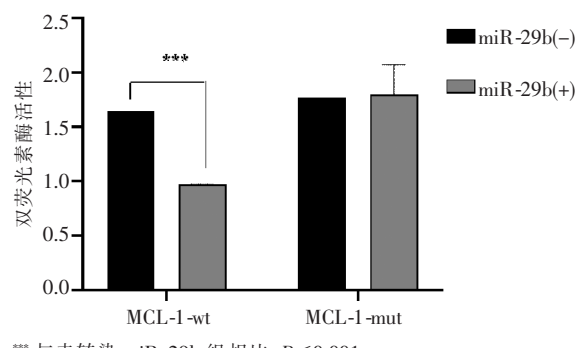


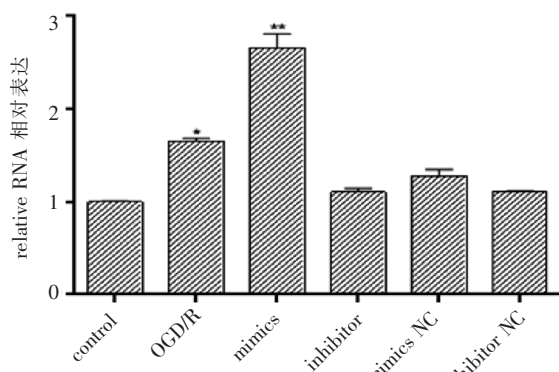
图 1 N2a 细胞中转染 miR-29b 模拟物与 MCL-1 3'UTR 端潜在 miR-29b 结合片段的相互作用

## 2.2 miR-29b 模拟物和抑制剂在 N2a 细胞中的作用

转染 24 h 后,OGD/R 组 miR - 29b 水平与 control 组相比明显升高,mimics 组升高更明显,inhibitor 组升高不明显(图 2)。

## 2.3 miR-29b 模拟物和抑制剂对细胞活力的影响

OGD/R 组细胞存活率与 control 组相比明显降低,mimics 组降低更加明显( $P<0.01$ ),inhibitor 组与 control 组无明显差别;表明 OGD/R 环境下 miR-29b



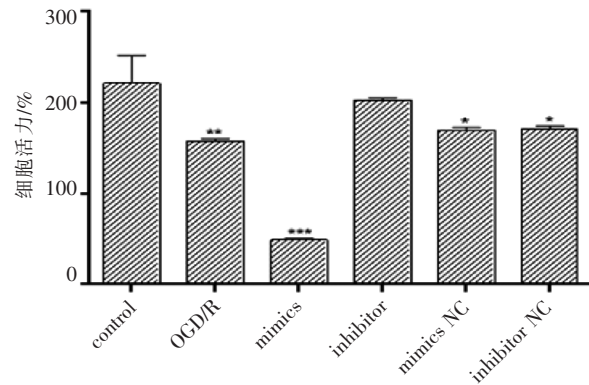
\*同一时间点与 control 组相比, $P<0.05$ ; \*\*与 control 组相比, $P<0.01$

图 2 miR-29b 模拟物和抑制剂在 N2a 细胞中的作用

模拟物抑制 N2a 细胞活力,miR - 29b 抑制剂促进 N2a 细胞存活(图 3)。

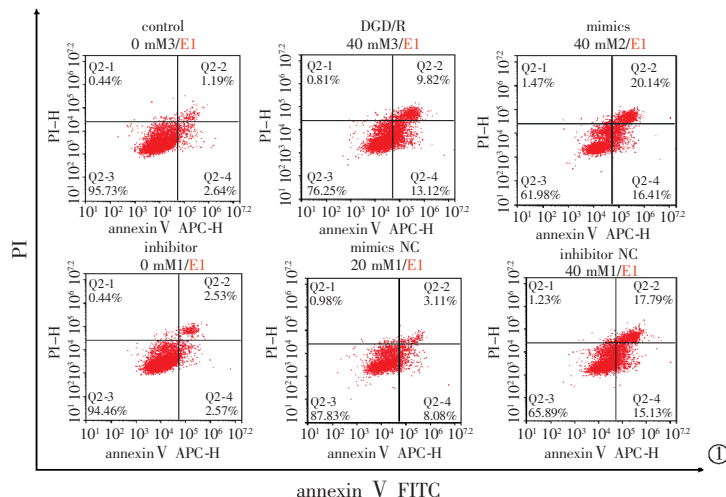
## 2.4 miR-29b 模拟物和抑制剂对细胞凋亡的影响

mimics 组细胞凋亡发生与 control 组相比显著升高,inhibitor 组与 mimics 组相比细胞凋亡较少(图 4);表明 OGD/R 环境下 miR - 29b 模拟物促进神经细胞凋亡,miR - 29b 抑制剂抑制神经细胞凋亡。



\*同一时间点与 control 组相比, $P<0.05$ ; \*\*与 control 组相比, $P<0.01$ ; \*\*\*与 control 组相比, $P<0.001$

图 3 miR-29b 模拟物和抑制剂对 N2a 细胞活力的影响



①脑 I/R 损伤模型中 N2a 细胞凋亡的点图;②直方图

\*同一时间点与 control 组相比, $P<0.05$ ; \*\*与 control 组相比, $P<0.01$ ; \*\*\*与 control 组相比, $P<0.001$

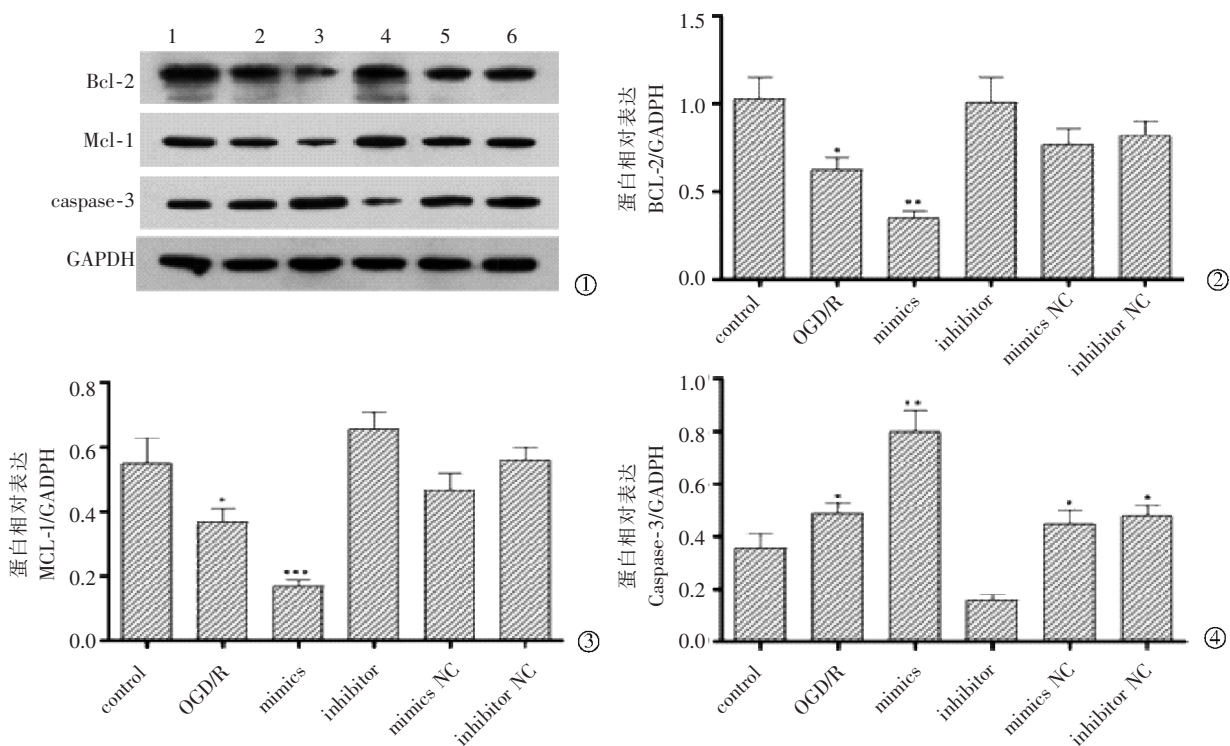
图 4 miR-29b 模拟物和抑制剂对细胞凋亡的影响

## 2.5 miR-29b 模拟物和抑制剂对凋亡蛋白的影响

OGD/R 组细胞中 BCL-2、MCL-1 表达水平与 control 组相比均明显下调,caspase - 3 明显上调,mimics 组 BCL-2、MCL-1 表达进一步受抑,但在 inhibitor 组明显上调,caspase-3 表达明显下调;表明 OGD/R 环境下 miR-29b 下调 MCL-1、BCL-2 表达,同时上调 caspase-3 表达(图 5)。

## 3 讨论

研究表明脑 I/R 损伤是影响脑卒中预后的重要环节,OGD/R 环境下神经细胞凋亡明显增加<sup>[11-12]</sup>。本实验研究结果与之一致。然而 OGD/R 环境下神经细胞凋亡机制不甚明确<sup>[12]</sup>。许多研究表明,miRNA 在脑 I/R 损伤中起关键作用<sup>[13-14]</sup>。miR-29b 是否有促进细胞凋亡的作用尚不明确<sup>[15]</sup>。本研究结果表明,



①具代表性 BCL-2、MCL-1、caspase-3 蛋白印迹图像;②BCL-2 波段强度直方图;③MCL-1 波段强度直方图;④caspase-3 波段强度直方图

\*同一时间点与 control 组相比,  $P < 0.05$ ; \*\*与 control 组相比,  $P < 0.01$ ; \*\*\*与 control 组相比,  $P < 0.001$

图 5 miR-29b 模拟物和抑制物对 N2a 细胞凋亡相关蛋白的影响

脑 I/R 过程中 miR-29b 表达明显升高,且下调抗凋亡蛋白 MCL-1、BCL-2 表达,上调凋亡蛋白 caspase-3 表达,促进神经细胞凋亡,但 miR-29b 促进神经细胞凋亡的具体机制仍不清楚。miR-29b 可直接与 MCL-1 3'UTR 端结合下调 MCL-1 表达,因此推断 miR-29b 通过靶向下调 MCL-1 表达促进脑 I/R 时神经细胞凋亡。

以往大量研究关注 miR-29b 对肿瘤的调控作用。然而 miR-29b 在 OGD/R 环境下和脑 I/R 损伤患者神经细胞中也显著上调<sup>[7,16]</sup>。有研究显示,激活的 miR-29b 在神经元成熟过程中通过靶向 BH3 蛋白表达促进神经细胞凋亡<sup>[17]</sup>。本实验研究表明 miR-29 可与 MCL-1 蛋白 3'UTR 端结合,这与既往研究结果一致。BCL-2 家族可分为抗凋亡因子或促凋亡因子,它们通过改变线粒体膜完整性和功能发挥作用,也影响凋亡信号转导通路。BCL-2 家族由 3 个亚群组成:①促生存蛋白,如 BCL-2、BCL-xL(BCL-2L1)、BCL-w(BCL-2L2)、MCL-1 和 A1;②多域促凋亡蛋白,如 BAX 和 BAK;③BH3 域促凋亡蛋白,如 BIM、PUMA (BBC3)、BID、BAD、BIK、BMF、HRK 和 NOXA(PMAIP1)<sup>[18-20]</sup>。MCL-1 是 BCL-2 家族中重要的抗凋亡蛋白,抑制 MCL-1 可通过线粒体途径促进

细胞死亡;MCL-1 还参与脑 I/R 损伤过程中神经细胞凋亡<sup>[21]</sup>。因此,本研究考虑 miR-29b 与 MCL-1 间相互作用,是神经细胞凋亡过程中关键因素之一。Shi 等<sup>[22]</sup>研究也表明,一些 miRNA 直接针对 BCL-2 家族蛋白 3'UTR 端,如 miR-15b 在永久性大脑中动脉闭塞(MCAO)后高表达,可能直接针对 BCL-2。miR-491-5p 也被认为可结合 BCL-xL(BCL-2L1) mRNA,这是 BCL-2 家族中抗凋亡成员之一<sup>[23]</sup>。此外,miR-29b 上调通过抑制缺血后脑损伤 BCL-2L2 蛋白促进神经元细胞凋亡<sup>[24]</sup>。许多化疗药物通过下调肿瘤细胞中 MCL-1 表达诱导细胞凋亡,本中心既往研究结果表明靶向 miR-29b 也可能通过抑制 MCL-1 表达成为脑 I/R 损伤的治疗靶点<sup>[25]</sup>。本研究再次证实该结果。

本研究在蛋白质和组织学水平证实本中心最初假设,即 miR-29b 通过靶向 MCL-1 促进脑 I/R 损伤过程中神经细胞凋亡。然而本研究也有一定局限性,如实验数据是在体外环境中应用 miR-29b 模拟物所获得,可能不能准确反映体内效应。本中心计划在 MCAO 动物模型中进一步实验探索脑 I/R 损伤与 miR-29b 抑制剂或 MCL-1 过表达间的治疗关系。此外,需要进一步实验验证 miR-29b 在脑 I/R 损

伤中靶向 MCL-1 的神经损伤和神经保护作用,探讨 miR-29b 在脑 I/R 损伤时神经元细胞中的功能和机制,以期为缺血性脑卒中患者开发出新的治疗靶点。

### [参考文献]

- [1] 中国老年医学学会急诊医学分会,中华医学会急诊医学分会卒中学会组,中国卒中学会急救医学分会. 急性缺血性脑卒中急诊急救中国专家共识 2018 版(上)[J]. 心脑血管病防治, 2019, 19:201-204.
- [2] 周腾飞,朱良付,李天晓. 影响急性缺血性脑卒中血管内治疗预后的相关因素分析[J]. 介入放射学杂志, 2017, 26:99-104.
- [3] 刘天助,韩志安,李铁林,等. 急性缺血性脑卒中机械取栓治疗进展[J]. 中华神经医学杂志, 2015, 14:1185-1188.
- [4] De Gasperi R, Graham ZA, Harlow LM, et al. The signature of microRNA dysregulation in muscle paralyzed by spinal cord injury includes downregulation of microRNAs that target myostatin signaling[J]. PLoS One, 2016, 11: e0166189.
- [5] Xia HF, Jin XH, Cao ZF, et al. MicroRNA expression and regulation in the uterus during embryo implantation in rat [J]. FEBS J, 2014, 281: 1872-1891.
- [6] Floris I, Kraft JD, Altosaar I. Roles of microRNA across prenatal and postnatal periods[J]. Int J Mol Sci, 2016, 17: 1994.
- [7] Di Y, Lei Y, Yu F, et al. MicroRNAs expression and function in cerebral ischemia reperfusion injury[J]. J Mol Neurosci, 2014, 53: 242-250.
- [8] Jafarinejad - Farsangi S, Farazmand A, Mahmoudi M, et al. MicroRNA-29a induces apoptosis via increasing the Bax: Bcl-2 ratio in dermal fibroblasts of patients with systemic sclerosis[J]. Autoimmunity, 2015, 48: 369-378.
- [9] Xu L, Xu Y, Jing Z, et al. Altered expression pattern of miR-29a, miR-29b and the target genes in myeloid leukemia[J]. Exp Hematol Oncol, 2014, 3: 17.
- [10] Mott JL, Kobayashi S, Bronk SF, et al. Mir-29 regulates Mcl-1 protein expression and apoptosis[J]. Oncogene, 2007, 26: 6133-6140.
- [11] Culmsee C, Zhu C, Landshamer S, et al. Apoptosis-inducing factor triggered by poly(ADP-ribose) polymerase and bid mediates neuronal cell death after oxygen-glucose deprivation and focal cerebral ischemia[J]. J Neurosci, 2005, 25: 10262-10272.
- [12] Broughton BR, Reutens DC, Sobey CG. Apoptotic mechanisms after cerebral ischemia[J]. Stroke, 2009, 40: E331-E339.
- [13] Ziu M, Fletcher L, Rana S, et al. Temporal differences in microRNA expression patterns in astrocytes and neurons after ischemic injury[J]. PLoS One, 2011, 6: e14724.
- [14] Uhlmann S, Mraesko E, Javidi E, et al. Genome-wide analysis of the circulating miRNome after cerebral ischemia reveals a reperfusion-induced microRNA cluster[J]. Stroke, 2017, 48: 762-769.
- [15] Pekarsky Y, Croce CM. Is miR - 29 an oncogene or tumor suppressor in CLL? [J]. Oncotarget, 2010, 1: 224-227.
- [16] Altintas O, Ozgen Altintas M, Kumas M, et al. Neuroprotective effect of ischemic preconditioning via modulating the expression of cerebral miRNAs against transient cerebral ischemia in diabetic rats[J]. Neurol Res, 2016, 38: 1003-1011.
- [17] Annis RP, Swahari V, Nakamura A, et al. Mature neurons dynamically restrict apoptosis via redundant premitochondrial brakes [J]. FEBS J, 2016, 283: 4569-4582.
- [18] Delgado - Soler L, Del Mar OM, Rubio - Martinez J. Structure-based approach to the design of BakBH3 mimetic peptides with increased helical propensity[J]. J Mol Model, 2013, 19: 4305-4318.
- [19] Santiveri CM, Sborgi L, de Alba E. Nuclear magnetic resonance study of protein-protein interactions involving apoptosis regulator diva(boo) and the BH3 domain of proapoptotic Bcl-2 members [J]. J Mol Recognit, 2012, 25: 665-673.
- [20] Smits C, Czabotar PE, Hinds MG, et al. Structural plasticity underpins promiscuous binding of the prosurvival protein A1[J]. Structure, 2008, 16: 818-829.
- [21] Dewson G. Characterizing Bcl-2 family protein conformation and oligomerization using cross-linking and antibody gel-shift in conjunction with native PAGE [J]. Methods Mol Biol, 2016, 1419: 185-196.
- [22] Shi H, Sun BL, Zhang J, et al. MiR-15b suppression of Bcl-2 contributes to cerebral ischemic injury and is reversed by sevoflurane preconditioning[J]. CNS Neurol Disord Drug Targets, 2013, 12: 381-391.
- [23] Denoyelle C, Lambert B, Meryet-Figuere M, et al. MiR-491-5p-induced apoptosis in ovarian carcinoma depends on the direct inhibition of both BCL-XL and EGFR leading to BIM activation [J]. Cell Death Dis, 2014, 5: e1445.
- [24] Shi G, Liu Y, Liu TL, et al. Upregulated miR - 29b promotes neuronal cell death by inhibiting Bcl2L2 after ischemic brain injury[J]. Exp Brain Res, 2012, 216: 225-230.
- [25] Huang Z, Lu L, Jiang T, et al. MiR - 29b affects neurocyte apoptosis by targeting MCL-1 during cerebral ischemia/reperfusion injury[J]. Exp Ther Med, 2018, 16: 3399-3404.

(收稿日期:2020-06-18)  
(本文编辑:秋实)